

話題

核データ・炉物理合同特別会合から

標記の特別会合は、シグマ特別専門委員会と炉物理研究特別専門委員会の共催により核データ評価者と利用者の自由な意見交換の場として、日本原子力学会の年会および分科会にあわせ毎回開かれているものです。“核データニュース”では、その都度この会合での講演内容を掲載してきました。昨1987年10月2日～4日北海道大学工学部で開かれた62年秋の年会では、次の3人が下記の題名で講演されました。

- | | |
|--|-----------|
| (1) JENDL-3Tのベンチマーク・テストの概要 | 高野秀機(原研) |
| (2) 原子力データベースに関する最近の状況 | 菊池康之(原研) |
| (3) 「Specialists」 Meeting on Experimental Data for Decay Heat Predictions」出席報告 | 吉田正(NAIG) |

JENDL-3Tのベンチマーク・テストの概要

原研 高野秀機

はじめに

シグマ委員会炉定数専門部会ではJENDL-3Tのベンチマーク・テストを(1)高速炉、(2)熱中性子炉-高転換軽水炉、(3)核融合炉、(4)遮蔽、(5)核分裂生成物(FP)の5分野の積分データについて行うこととし、それぞれ担当者と役割分担が決っている。いまのところ(1)と(2)のテストが先行した形となり、昨1987年10月の原子力学会で予備的な結果が発表された。本稿ではそれを要約、紹介することにする。なお(3)(4)(5)については同年11月に開催された核データ研究会の報告集を読まれたい。

群定数の計算は、JENDL-3T編集グループと密接なコンタクトをとりながら、重要核種より順次行われた。高速炉用にはJFS-3型70群構造、熱中性子炉用としてはSAC型高エネルギー74群と熱領域48群の群定数ライブラリーを25核種について作成した。群定数計算コードはTIMS-PGGプロセス・コード・システムである。ただし熱中性子散乱則 $S(\alpha, \beta)$ はJENDL-3の評価が済んでいないためENDF/B-IIIのデータを用いた。

高速炉ベンチマーク炉心は、従来より用いられてきた21ヶの臨界集合体に、2次元ベンチマークのためにFCA-6-2とZPPR-9を追加した。熱中性子炉ベンチマークとしてはU-235, Pu-239及びU-233を燃料とする臨界安全実験とTRXとETA炉心での格子パラメータ実験である。高転換軽水炉はPu炉心のPROTEUSとU炉心のFCA-XIV-1である。

1. 熱中性子炉 (LWR)

ベンチマーク炉心の特徴をTable 1に示す。臨界実験の解析は一次元S_n計算コードANISNでP₁S₈近似で行った。計算結果を燃料がU-235, Pu-239, U-233の場合に分けてFig. 1, 2, 3に水対燃料比の関数として示す。Fig. 1ではH/U-235の値が小さくなるに従ってJENDL-3Tはk_{eff}を過大評価する。特に金属燃料でスペクトルが非常にかたい場合には実験値を3%, JENDL-2の値を2%も過大評価することが分る。これはJENDL-3Tではν-235値が高エネルギー領域でJENDL-2よりも非常に大きく評価されたためである。Pu系に対してはFig. 2より分かるようにJENDL-3TはJENDL-2よりも良い結果を示している。U-233系に対してもFig. 3に見られるように幾分過小評価ではあるが良い結果となっている。ただしスペクトルの硬いmetalの場合はk_{eff}を2.5%大きく見積っている。

Table 3にはTRXとETA炉心での格子パラメータの実験解析結果を示す。これから分かることはエピサーマル領域でのσ_c(U-238)がJENDL-3TではJENDL-2の過大評価を改善していないこと、更にσ_f(U-238)/σ_f(U-235)も10%近く実験値を過大評価している。一方U-233, Th-232系のETA炉心ではJENDL-3TはJENDL-2の結果をかなり改善していることが分かる。但し、σ_f(Th-232)/σ_f(U-235)及びσ_c(Th-232)/σ_f(U-233)は、実験値をかなり過小評価している。

2. 高転換軽水炉 (HCLWR)

Table 2にPROTEUSとFCA炉心の特徴を示す。PROTEUSのcore(1, 2, 3)は6%Pu fiss, core(4, 5, 6)は8%Pu fissに相当する。

PROTEUS炉心に対する解析結果をFig.4と5に示す。k_{eff}(Fig. 4)に対してJENDL-3Tはボイド率ゼロの場合実験値との一致は良いが、ボイド率の増加と共に過小評価の傾向にある。Fig. 5はσ_c(U-238)/σ_f(Pu-239)の反応率比の比較を示す。これは転換比に相当するものであるが、JENDL-3Tは過大評価の傾向にある。

Table 4はFCA-XIV-1炉心での解析結果で、k_{eff}はJENDL-3Tでは1.5%過大評価で、JENDL-2よりも3%実効増倍率が大きくなっている。これはU系炉心のためν-235値の相違が大きな影響を及ぼしているためである。

3. 高速炉 (FBR)

一次元拡散ベンチマーク計算は、従来JFS-3-J2セット等で行われてきた21ヶの臨界集合体に対して実施した。計算結果は非均質及び輸送効果の補正を行って実験値と比較された。Fig. 6~10にC/E(計算と実験値の比)に対して、JENDL-2とJENDL-3Tの結果が比較されている。k_{eff}(Fig. 6)に関しては、JENDL-3TはU系炉心に対して過大評価、Pu系炉心に対しては過小評価になっている。又増殖比(σ_c(U-238)/σ_f(Pu-239 or U-235))に対してはJENDL-3Tは大型炉心に対して~10%近く過大評

価の傾向にある。一方、Fig. 9より分かるように σ_f (Pu-239) / σ_f (U-235) は、JENDL-2 の過小評価がかなり改善されている。しかし、しきい値核分裂反応率 σ_f (U-238) / σ_f (U-235) に対しては非常に JENDL-3 T は過大評価となる。

二次元ベンチマーク計算が FCA-6-2 と ZPPR-9 に対して実施された。主にドップラー反応度、Na-ボイド反応度及び反応率分布が計算された。

Table 5 は ZPPR-9 でのサンプルドップラー反応度の計算結果の比較を示す。JENDL-3 T は約 6% JENDL-2 より大きくなり実験値に近づいている。Fig. 11 と 12 は FCA-6-2 と ZPPR-9 での Na-ボイド反応度の比較を示す。JENDL-3 T は JENDL-2 での過大評価及びボイド領域依存性を大幅に改善していることが分かる。Fig. 13, 14, 15 には反応率分布の比較が示されている。FCA-6-2 での σ_f (U-238) 反応率分布 (Fig. 13) ではドライバー領域での過大評価が著しい。JENDL-3 T ではドライバー領域は U-235 燃料であるため一層実験値との不一致が拡大されている。Fig. 14 と 15 は ZPPR-9 での σ_f (Pu-239) と σ_c (U-238) 反応率分布の比較である。JENDL-3 T は 1% 程 JENDL-2 での外側炉心での過大評価を改善している。

4. 評価断面積と積分データの関係

ここでは JENDL-3 T の評価核データにまで遡って、核データの相違が積分データへ及ぼす影響を考える。JENDL-2 と JENDL-3 T の無限希釈断面積の差を各反応の各エネルギー群毎に計算し、その差が各種の積分データに及ぼす影響を 21ヶの FBR ベンチマーク集合体についてもとめた。これらは CATEX コードを用いてなされた。

Table 6 には主要核種の核データに対する JENDL-3 T の特徴を JENDL-2 と比較して示す。これから、 σ_f (U-235), $\nu - 235$, σ_{in} (U-238) などは JENDL-2 より大幅に変えられていることが分かる。

Fig. 16 には JENDL-3 T での評価断面積 σ_f (U-235) の JENDL-2 からの % 変化を各群で示す。100 eV から 10 keV では JENDL-3 T は 6% 以上も JENDL-2 より小さくなっている。このグラフの中に例えば 100 eV ~ 10 keV での σ_f (U-235) の変化が k_{eff} や中心反応率比に及ぼす効果が示されている。これらは 21ヶの臨界集合体からの平均的な値である。10 keV ~ 1 MeV で JENDL-3 T は JENDL-2 よりも約 3% σ_f (U-235) が小さく評価されている。これは k_{eff} を ~ 1.2% も小さくし、C8/F5 (σ_f (U-238) / σ_f (U-235)) と F9/F5 (σ_f (Pu-239) / σ_f (U-235)) を 2% 大きくする。また 100 eV ~ 10 keV の非分離領域で 6% も σ_f (U-235) を小さくした影響は、スペクトルの軟かい大型炉心では k_{eff} に約 1% 生じ、C8/F5 を 2% 大きくする。

Fig. 17 には $\nu - 235$ の JENDL-2 と JENDL-3 T の相違が示されている。10 eV 以上で JENDL-3 T の $\nu - 235$ はかなり大きくなっている。10 keV ~ 1 MeV での変化は k_{eff}

を2%も大きくする。

Fig.18は σ_f (Pu-239)のJENDL-2とJENDL-3Tの差を示す。全体にJENDL-2よりもJENDL-3Tの評価は小さくなっている。10keV～1MeVで約5%小さくなっている、 k_{eff} を1.7%，F9/F5を3%小さくし、C8/F9を3.6%も大きくする影響を示している。又1keV以下の共鳴領域でもJENDL-3Tの評価は小さく、HCLWRでは重要な問題になると思われる。

Fig.19は σ_c (U-238)のJENDL-2とJENDL-3Tの相違を示す。差は100keV以上に見られ、 k_{eff} を0.3～0.8%小さくし、C8/F9を3%大きくする。

Fig.20は σ_{in} (U-238)のJENDL-2とJENDL-3Tの差を示す。1MeV以上では平均40%，100keV附近でも20%もJENDL-3Tは大きくなっている。1MeV以上の大きな差は k_{eff} やC8/F9に大きく影響すると思われる。

Fig.21は核分裂スペクトルの相違を示す。JENDL-3TではMadland-Nixの式に従って、JENDL-2よりも硬いスペクトルが評価された。これはU-235，U-238，Pu-239どれに対しても同様である。この χ の変化が k_{eff} に及ぼす影響がFig.22に示されている。これから k_{eff} を0.5%大きくすることが分かる。又Fig.23には χ の変化が σ_f (U-238)/ σ_f (U-235)へ与える影響が示されており、5%も存在することが分かる。

Fig.24はU-235，Pu-239，U-238，等の ν -値がJENDL-2からJENDL-3Tに変わったときの k_{eff} への影響を示す。U系炉心では2%以上、Pu系炉心では0.3%大きくなっている。

Fig.25と26にはNi-naturalの散乱断面積と捕獲断面積のJENDL-2とJENDL-3Tの比較を示す。JENDL-3Tは σ_s はかなり大きく、 σ_c はかなり小さくなっている。この相違が k_{eff} に与える影響はFig.27に示されている。ZPR-3-56のNi-反射体をもつ炉心では1.2%，Niの量が多くなる大型炉心では0.3%もあることが分かる。

5. 結論

Table 7に結論の要約を示す。JENDL-3TはFBRでのNa-ボイド、ドップラー反応度がJENDL-2と比べて良く実験値と一致する。又LWRでの k_{eff} もJENDL-2よりも実験値との一致がよい。一方スペクトル・インデックスでは過大評価である。

Table 6とTable 7を比較し、JENDL-3Tの積分データ予測精度をより高めるために、以下の数点に関して特に再評価の検討を望みたい。

- (1) U-235の ν -値(10eV以上の領域)と σ_f (100eV以上、特に100eV～10keVの非分離領域)
- (2) U-238の σ_{in} (1MeV以上)
- (3) Pu-239の σ_f (10～100keVと分離共鳴領域)
- (4) 核分裂スペクトル

(5) Ni の σ_s と σ_c

100 keV 以上の領域は同時評価法が採用されており、再評価の難しい領域と思われる。従って非弾性散乱断面積や核分裂スペクトルを含めた群定数の Adjustment を行うことによって、JENDL-3T の問題点を取り除くことは可能と思われる。

Table 1. LWR benchmark cores

| Critical experiment | Lattice parameter experiment |
|---|--------------------------------------|
| U-235 fuel | |
| ORNL - 1, 2, 3, 10 | TRX-1, 2 (1.3 wt% U235 metal) |
| H/U-235 : 972 - 1835 | V(H ₂ O)/Vf : 2.35, 4.02 |
| McNeany & Jenkins-Cores 1, 2, 3 | ETA-1 (6.7wt%U235-ThO ₂) |
| H/U-235 : 0.0, 50, 1393 | D20 (Driver TRX) |
| Strawbridge & Barry-Cores | |
| 55 U-metal and 61 UO ₂ -rods | |
| U-233 fuel | |
| McNeany & Jenkins-Cores 1 - 10 | ETA-2 (3 wt% U233-ThO ₂) |
| H/U-233 : 0.0 - 381 | D20 (Driver TRX) |
| McNeany & Jenkins -Cores 11, 12 | |
| U-233 + Th-232 | |
| H/U-233 : 1533, 1986 | |
| PU-239 fuel | |
| PNL - 1, 2, 3, 4, 5 | |
| H/Pu-239 : 131 - 1204 | |

Table 2. HCLWR benchmark cores

| | |
|--|--|
| PU-239 fuel | |
| PROTEUS(pin) - cores (1, 2, 3) & (4, 5, 6) | |
| V _m /V _f : 0.5 | |
| Void fraction(%) : 0, 42.5, 100 | |
| Two rod heterogeneity : UO-PuO + DUO | |
| U-235 fuel | |
| FCA-14-1 (plate, 6.5% E) | |
| V _m /V _f : 0.6 | |
| Void fraction (%) : 0.0, 45 | |

Table 3 The C/E-values for lattice cell parameters

| assembly | parameter | JENDL-2 | JENDL-3T |
|----------|---------------|---------|----------|
| TRX-1 | ρ_{23} | 1.057 | 1.081 |
| | δ_{25} | 1.022 | 1.012 |
| | δ_{23} | 1.052 | 1.095 |
| | C' | 1.024 | 1.031 |
| TRX-2 | ρ_{23} | 1.040 | 1.063 |
| | δ_{25} | 1.007 | 0.997 |
| | δ_{23} | 1.024 | 1.058 |
| | C' | 1.011 | 1.015 |
| ETA-1 | ρ_{02} | 0.977 | 1.011 |
| | δ_{25} | 1.064 | 1.060 |
| | δ_{02} | 0.810 | 0.846 |
| | CR | 0.919 | 0.974 |
| ETA-2 | ρ_{02} | 0.958 | 0.982 |
| | δ_{23} | 1.055 | 1.054 |
| | δ_{02} | 0.944 | 1.007 |
| | CR | 0.895 | 0.938 |

ρ_{23} : U-238 capture epithermal to thermal

δ_{25} : U-235 fission epithermal to thermal

δ_{23} : U-238 fission to U-235 fission

C' : U-238 capture to U-235 fission

ρ_{02} : Th-232 capture epithermal to thermal

δ_{02} : Th-232 fission to U-235 fission

CR : Th-232 capture to U-235 fission

δ_{23} : U-233 fission epithermal to thermal

δ_{02} : Th-232 fission to U-233 fission

CR' : Th-232 capture to U-233 fission

Table 4 Benchmark calculation for FCA-XIV-1 assomby
 () shows the ratio of calculation to experiment

| | EXPERIMENT | JENDL-2 | JENDL-3T |
|--------------|---------------------|--------------------|--------------------|
| < 0 % VOID > | | | |
| K-INFINITY | 1.1759 \pm 0.0015 | 1.16079 (0.987) | 1.19407 (1.015) |
| F 9/F .5 | 2.353 \pm 3.1% | 2.3603 (1.003) | 2.3705 (1.007) |
| F 8/F 5 | 0.00568 \pm 6.0% | 0.00673 (1.186) | 0.00717 (1.262) |
| C 8/F .5 | 0.03768 \pm 2.8% | 0.04293 (1.139) | 0.04366 (1.159) |
| <45 % VOID > | | | |
| K-INFINITY | 1.0831 \pm 0.0048 | 1.06579 (0.984) | 1.10206 (1.017) |
| F 9/F 5 | 2.083 \pm 3.0% | 2.0059 (0.963) | 2.0184 (0.969) |
| F 8/F 5 | 0.00798 \pm 5.0% | 0.00933 (1.169) | 0.01006 (1.260) |
| C 8/F .5 | 0.05489 \pm 2.2% | 0.06076 (1.107) | 0.06225 (1.134) |

F9/F5 : Reaction rate ratio of Pu-239 fission to U-235 fission

F8/F5 : Reaction rate ratio of U-238 fission to U-235 fission

C8/F5 : Reaction rate ratio of U-238 capture to U-235 fission

Table 5 ZPPR-9 DOPPLER REACTIVITY EFFECTS ---
NUO₂ SAMPLE

Core Model : 2D-RZ
Number of groups : 70 G
Using Code : CIPER
Cell Model : Homogeneous
Diffusion Coefficient : EXPANDA Method

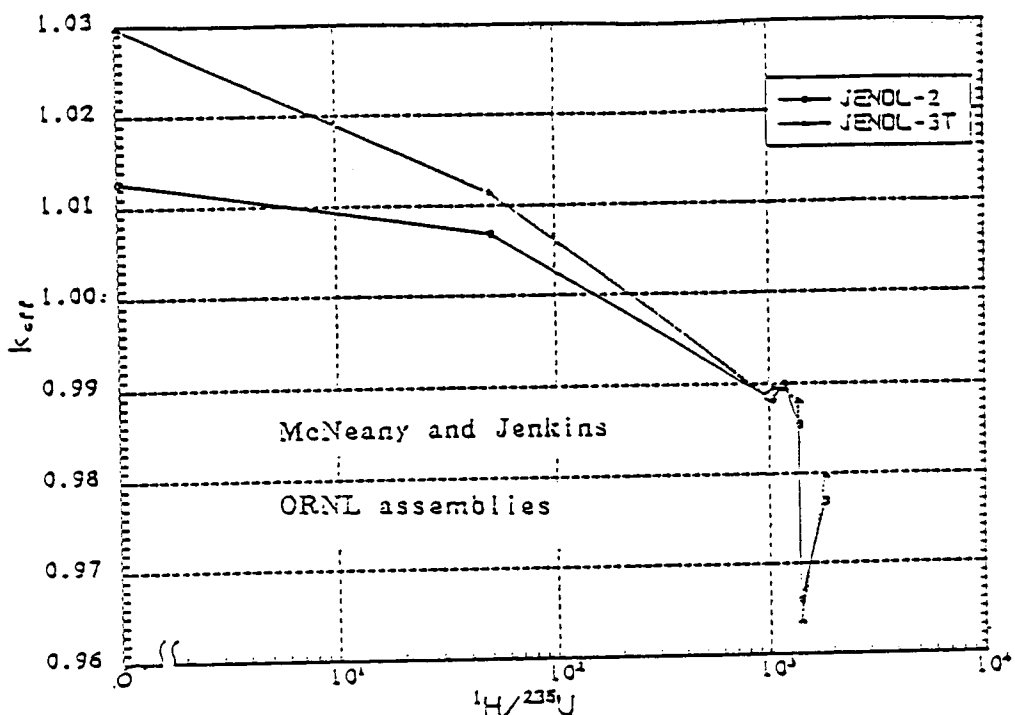
| LIBRARY | TEMPRATURE | REACTIVITY (DK/K*10E-6) | | | C / E |
|---------|----------------|---------------------------|-------------|-----------|---------|
| | | EXPERIMENTS (ERROR) | CALCULATION | CORRECTED | |
| JENDL2 | 298K - 487.5K | -1.03380 (± 0.0299) | -0.81110 | -0.90821 | 0.87852 |
| | 298K - 644.4K | -1.64210 (± 0.0299) | -1.29670 | -1.45488 | 0.88599 |
| | 298K - 794.0K | -2.18700 (± 0.0299) | -1.66840 | -1.87650 | 0.85802 |
| | 298K - 935.4K | -2.47060 (± 0.0336) | -1.96490 | -2.21375 | 0.89604 |
| | 298K - 1087.0K | -2.84750 (± 0.0299) | -2.23990 | -2.52779 | 0.88772 |
| JENDL3T | 298K - 487.5K | -1.03380 (± 0.0299) | -0.86590 | -0.96957 | 0.93787 |
| | 298K - 644.4K | -1.64210 (± 0.0299) | -1.38550 | -1.55452 | 0.94666 |
| | 298K - 794.0K | -2.18700 (± 0.0299) | -1.78430 | -2.00686 | 0.91763 |
| | 298K - 935.4K | -2.47060 (± 0.0336) | -2.10320 | -2.36957 | 0.95911 |
| | 298K - 1087.0K | -2.84750 (± 0.0299) | -2.39960 | -2.70802 | 0.95102 |

Table 6 JENDL-3T CHARACTERISTICS

| | U-235 | U-238 | Pu-239 |
|---------------|--|--------------------------------|--|
| σ_f | -5% ; 100eV- 1 MeV | -4% > 1 MeV | -5 % > 10 KeV |
| σ_c | -10 %; 100eV- 1 MeV | +5% ; 100KeV- 1MeV | -5% ; 10KeV-1 Mev |
| σ_{in} | +10 %; 200KeV-3 MeV | +40% > 1 MeV | +40-100% < 1 MeV |
| χ | hard | hard | hard |
| γ | +2.5% ; 100eV- 1MeV +17 % ; 10 - 100 eV | -1 % > 2 MeV +2 % ; 1-2 MeV | -1 % > 1 MeV +1 % ; 1 - 400 KeV +4 % ; 0.5 - 1 KeV |

Table 7 CONCLUDING REMARKS

| Int. Data | Fuel | LWR | HCLWR | FBR |
|----------------------------|-------|------------|-------|--------------|
| K _{eff} | U235 | Ok | +1.5% | +2% |
| | Pu239 | Ok (+0.5%) | Ok | Ok |
| | U233 | -1 % | | +2 % (metal) |
| C8/F5 | U235 | +2% | +16% | +5% |
| C8/F9 | Pu239 | | +5% | +7% |
| F9/F5 | | | | Ok |
| F8/F5 | | +8% | | +15% |
| F8/F9 | Pu | | +7% | |
| Doppler(NUO2) | | | | Ok |
| Void Reactivity | | | | Ok |
| Reaction Rate Distribution | | | | OK |


 Fig. 1 k_{eff} for ^{235}U Critical Experiments (ANISN, P₁S₈)

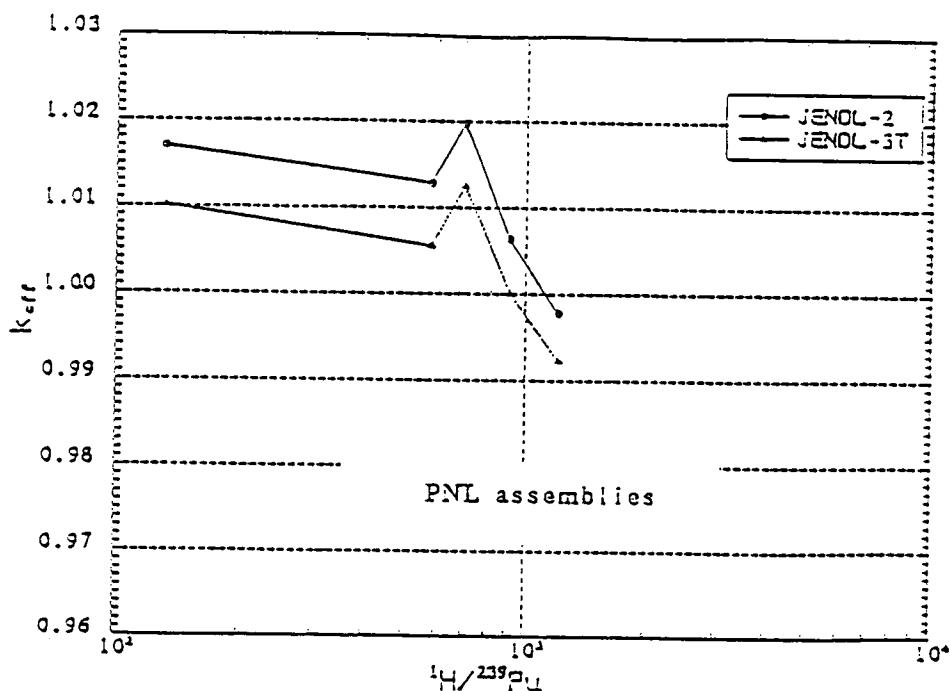


Fig. 2 k_{eff} for ^{239}Pu Critical Experiments (ANISN, P_1S_8)

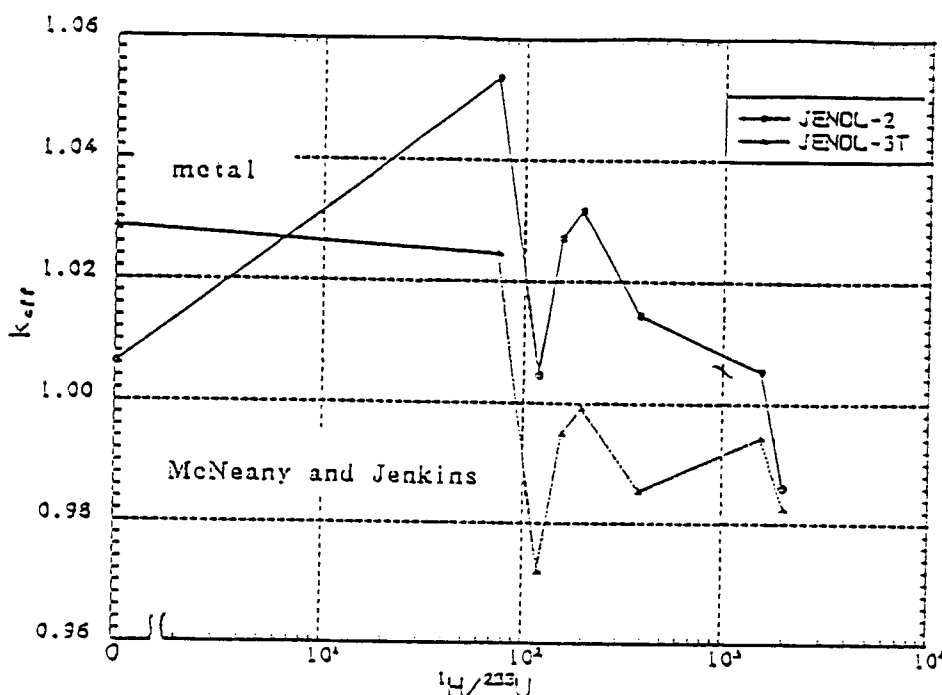


Fig. 3 k_{eff} for ^{233}U Critical Experiments (ANISN, P_1S_8)

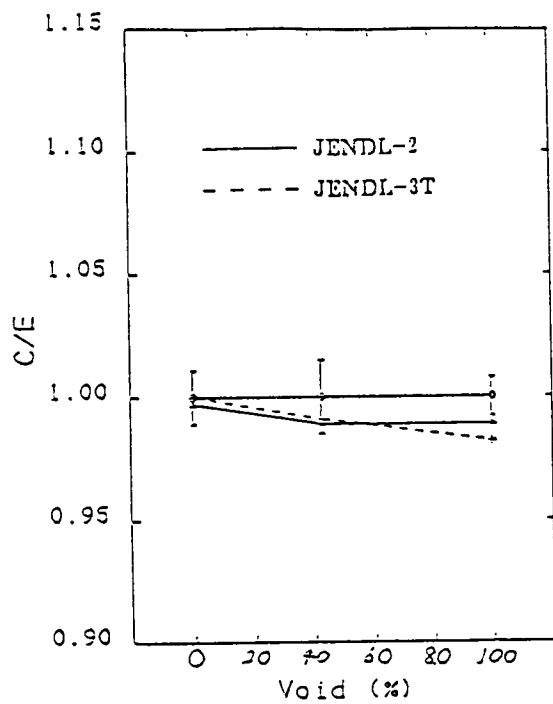


Fig. 4 The C/E values of infinite multiplication factors for PROTEUS cores 1, 2, and 3

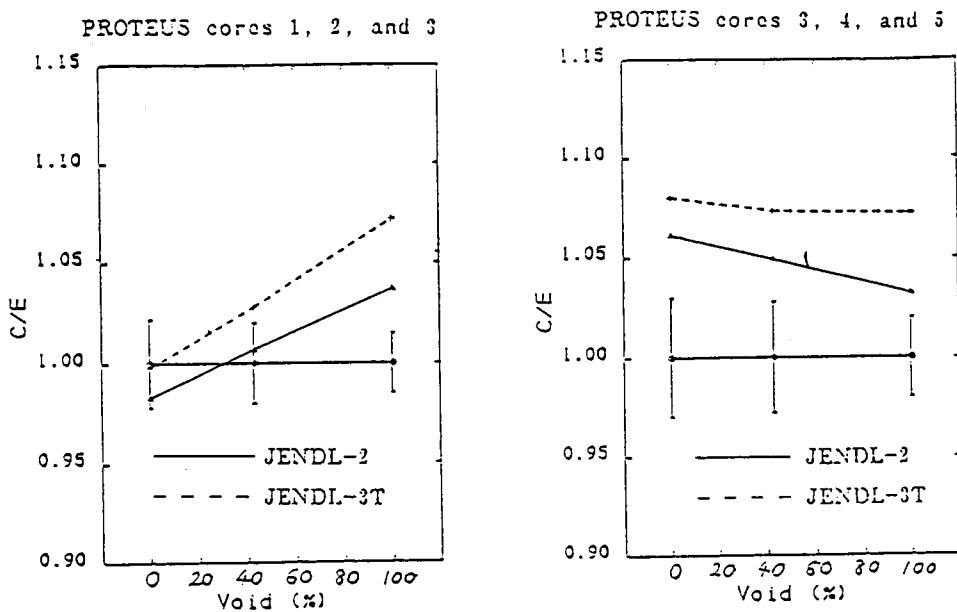


Fig. 5 Comparison of reaction rate ratios of U-238 capture to Pu-239 fission (C8/F9)

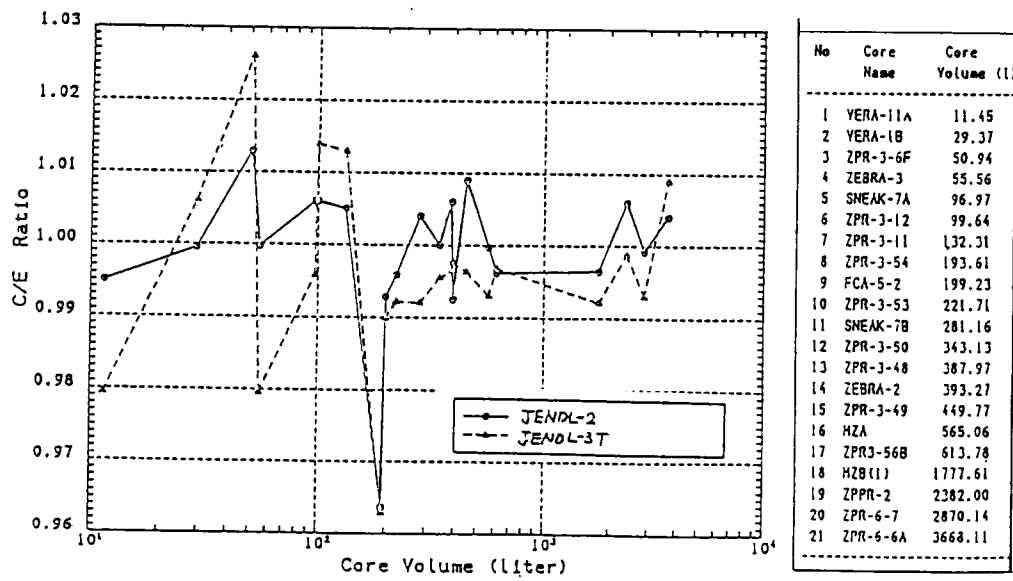


Fig. 6 k-effective

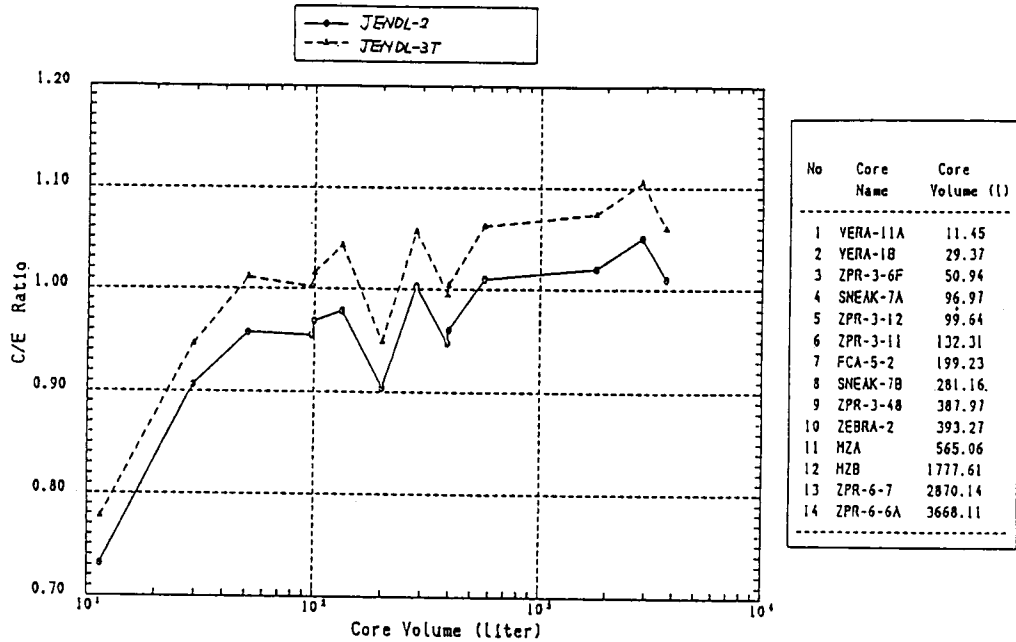


Fig. 7 C/E Ratio of $\langle \sigma_c^{238} / \sigma_f^{235} \rangle$

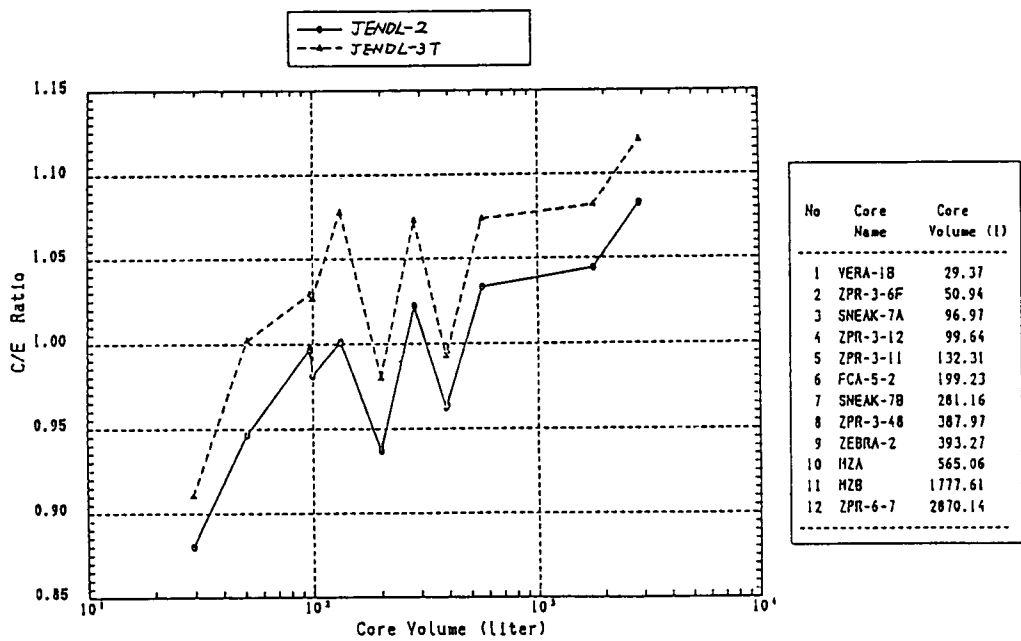


Fig. 8 C/E Ratio of $\langle \sigma_c^{238} / \sigma_f^{239} \rangle$

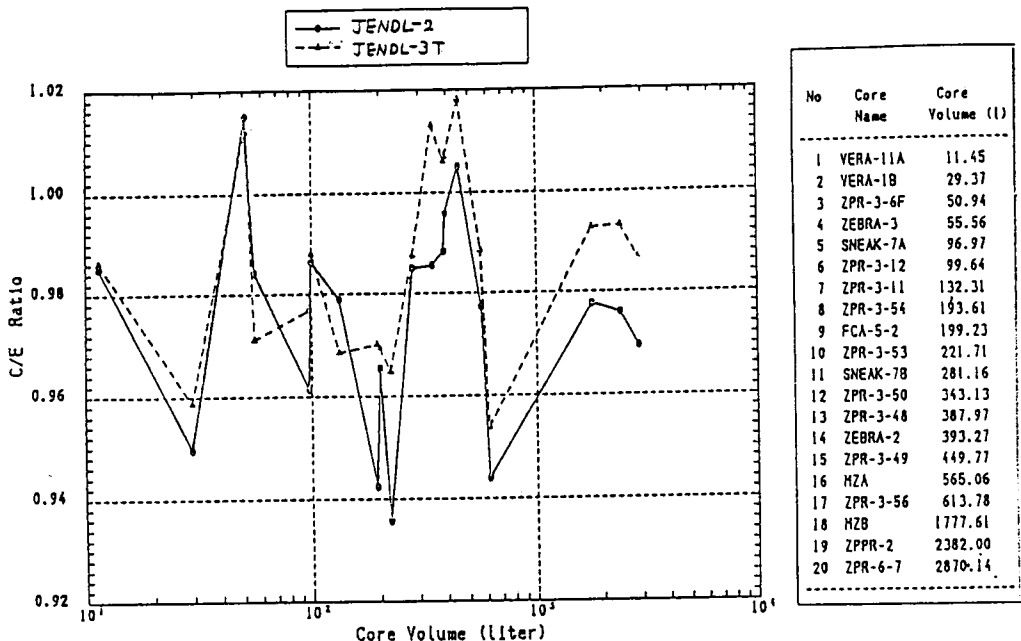


Fig. 9 C/E Ratio of $\langle \sigma_f^{239} / \sigma_f^{235} \rangle$

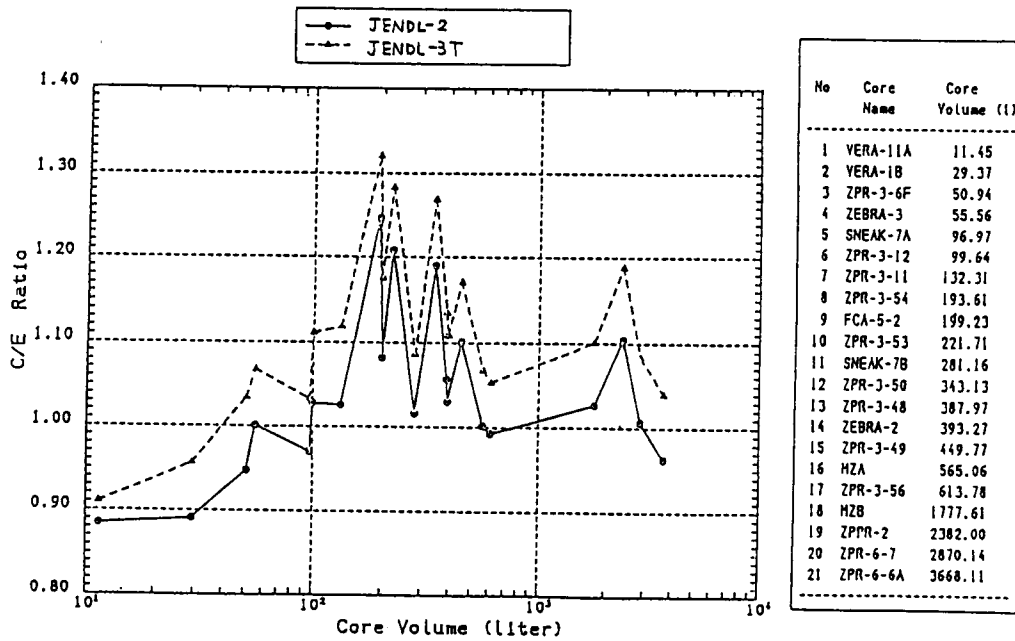


Fig.10 C/E Ratio of $\langle\sigma_f^{238} / \sigma_f^{235}\rangle$

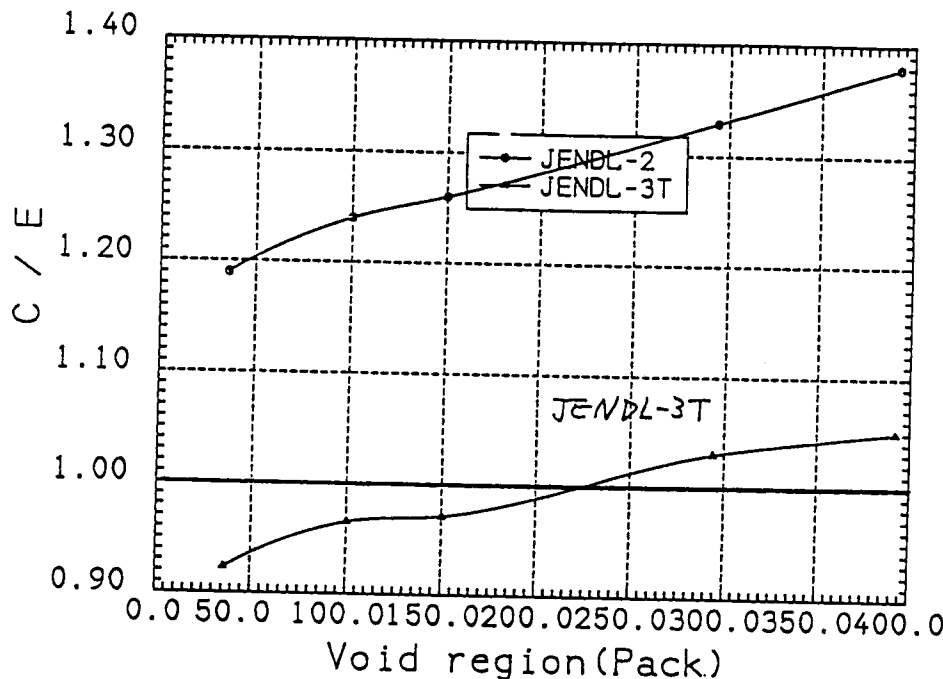


Fig.11 Comparison of Na-void reactivity at the FCA-VI-2 core

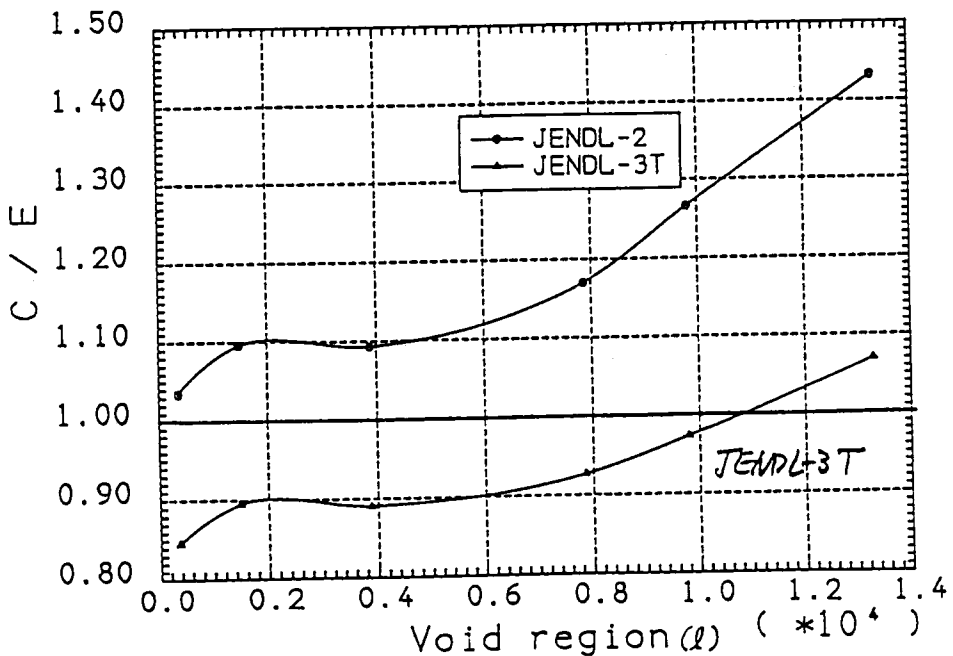


Fig.12 Comparison of Na-void reactivity at the ZPPR-9 core

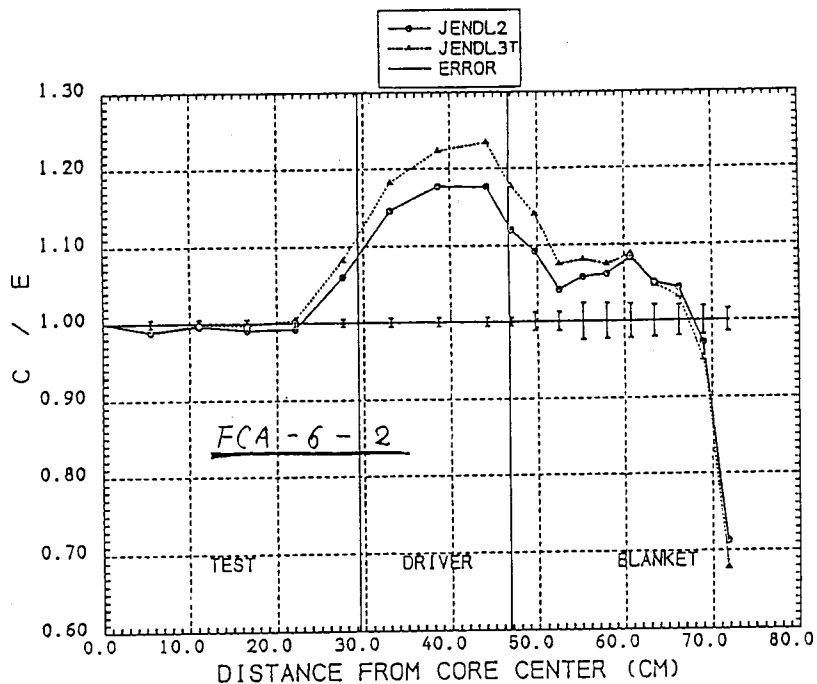


Fig.13 U-238 FISSION RATE DISTRIBUTION (R-DIRECTION)

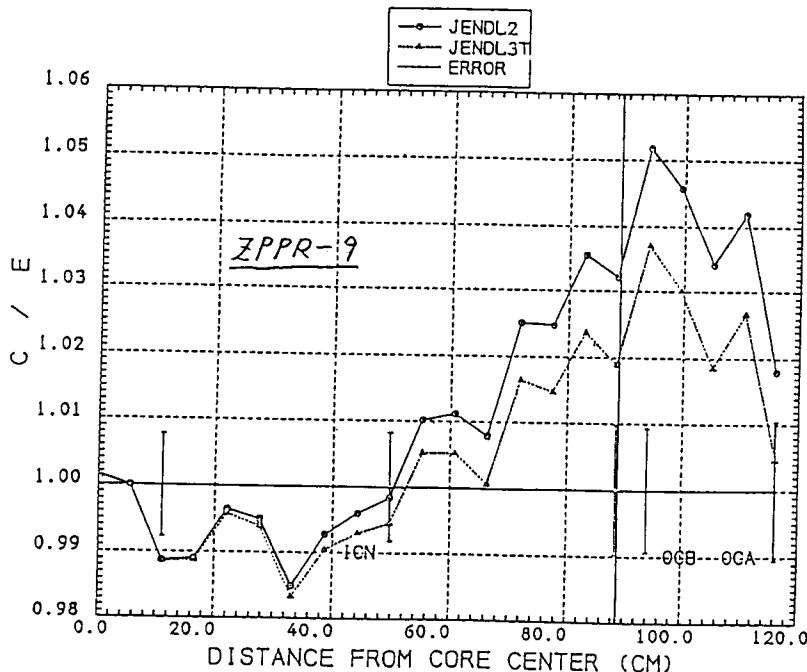


Fig.14 PU-239 FISSION RATE DISTRIBUTION (R-DIRECTION)

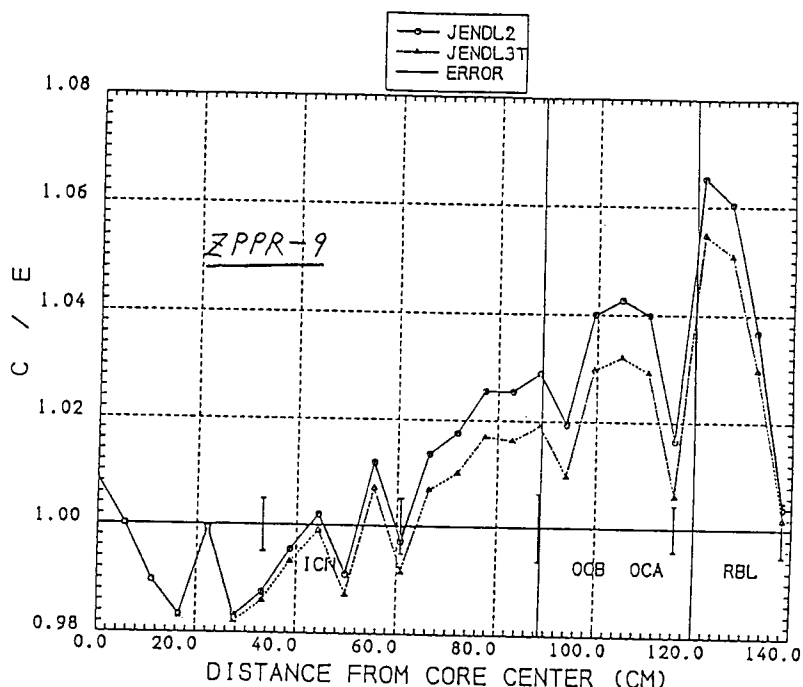


Fig.15 U-238 CAPTURE RATE DISTRIBUTION (R-DIRECTION)

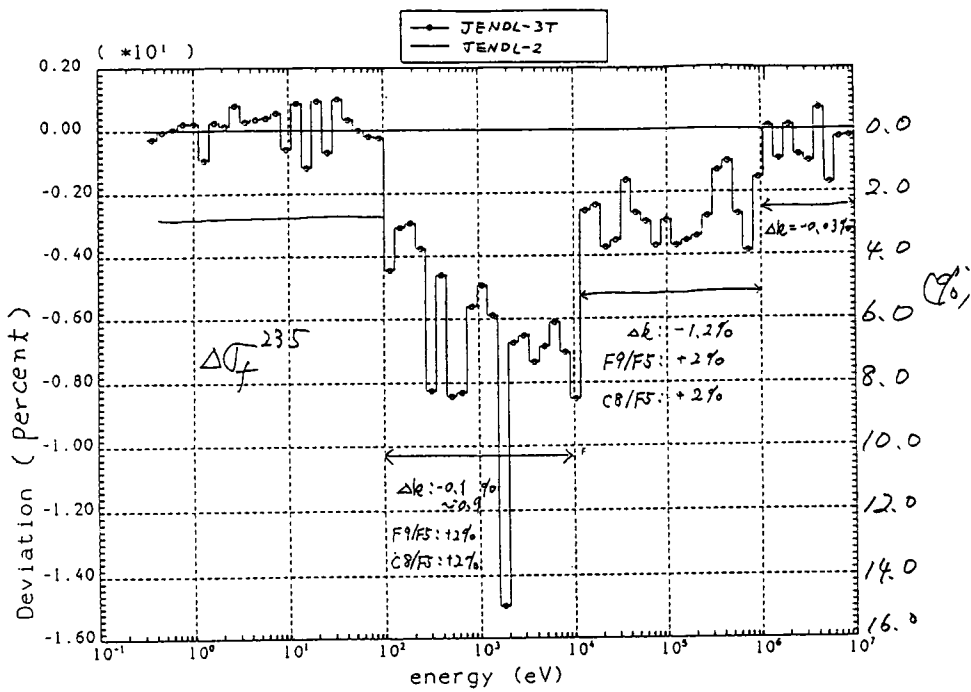


Fig.16 Deviation for σ_f (U-235) of JENDL-3T from JENDL-2

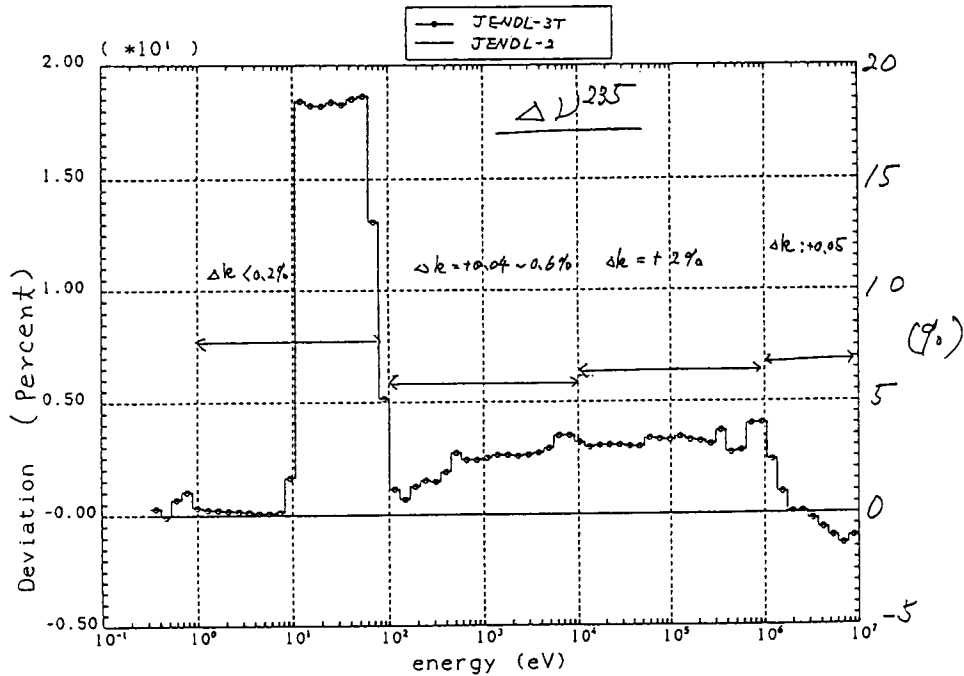


Fig.17 Deviation for ν (U-235) of JENDL-3T from JENDL-2

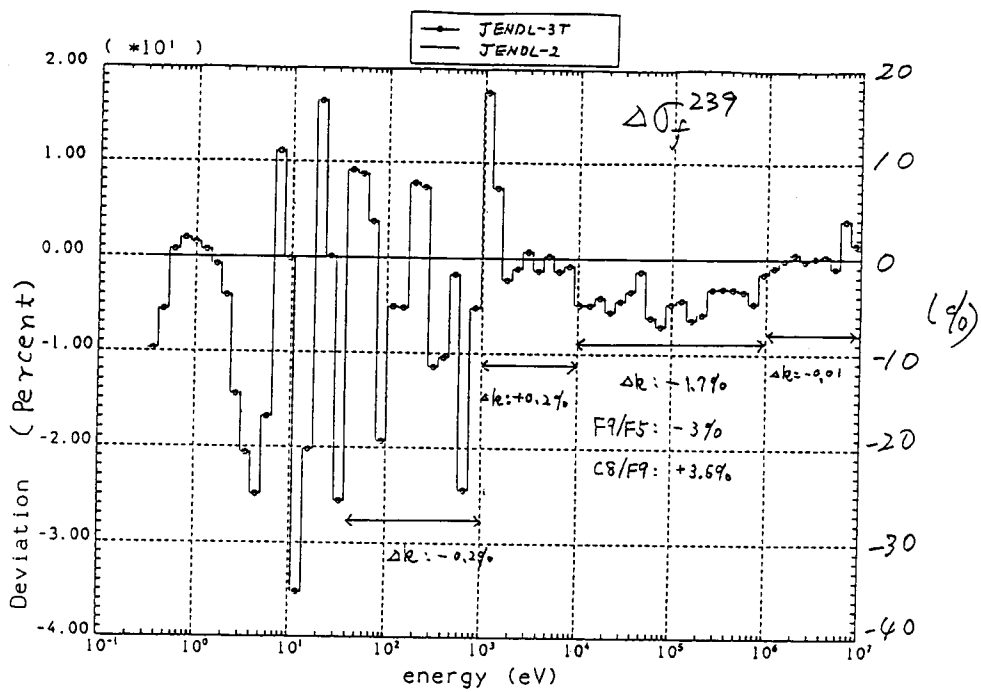


Fig.18 Deviation for σ_f (Pu-239) of JENDL-3T form JENDL-2

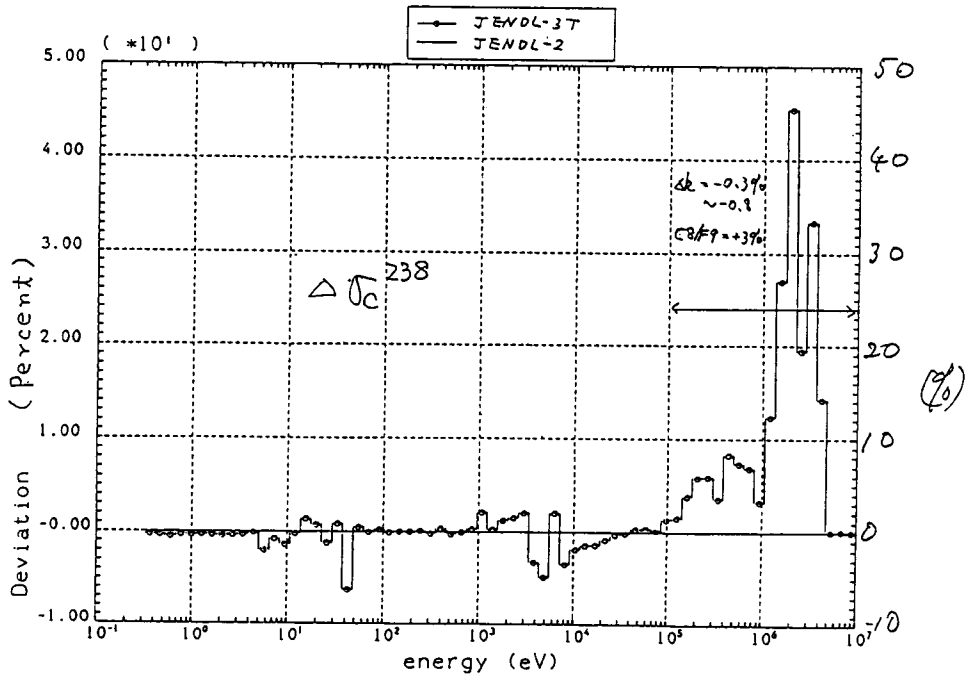


Fig.19 Deviation for σ_c (U-238) of JENDL-3T from JENDL-2

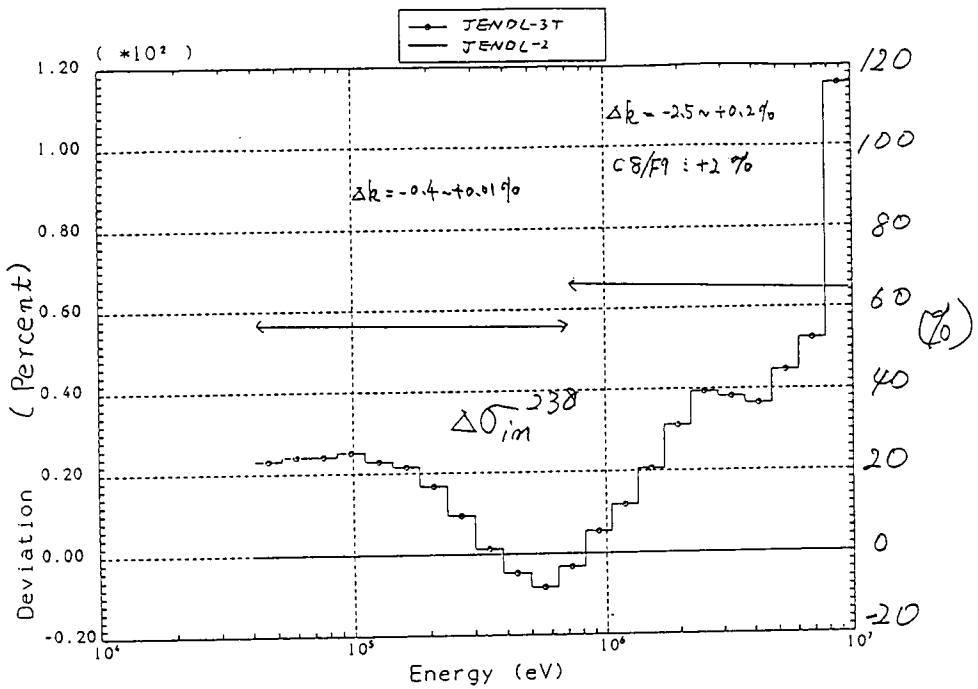


Fig.20 Deviation for σ_{in} (U-238) of JENDL-3T form JENDL-2

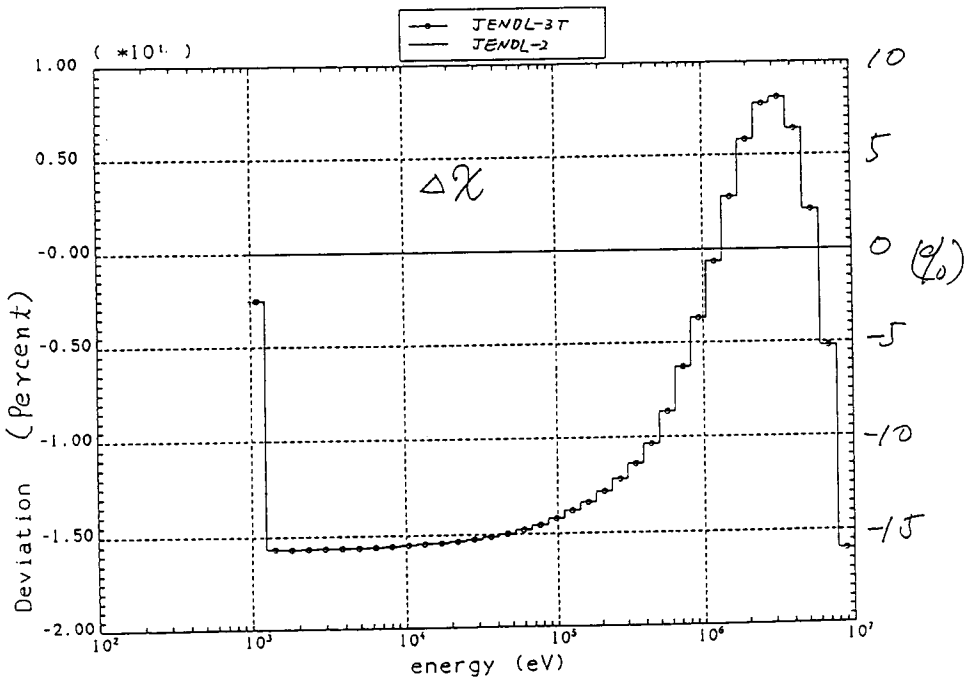


Fig.21 Deviation for χ (U-235) of JENDL-3T from JENDL-2

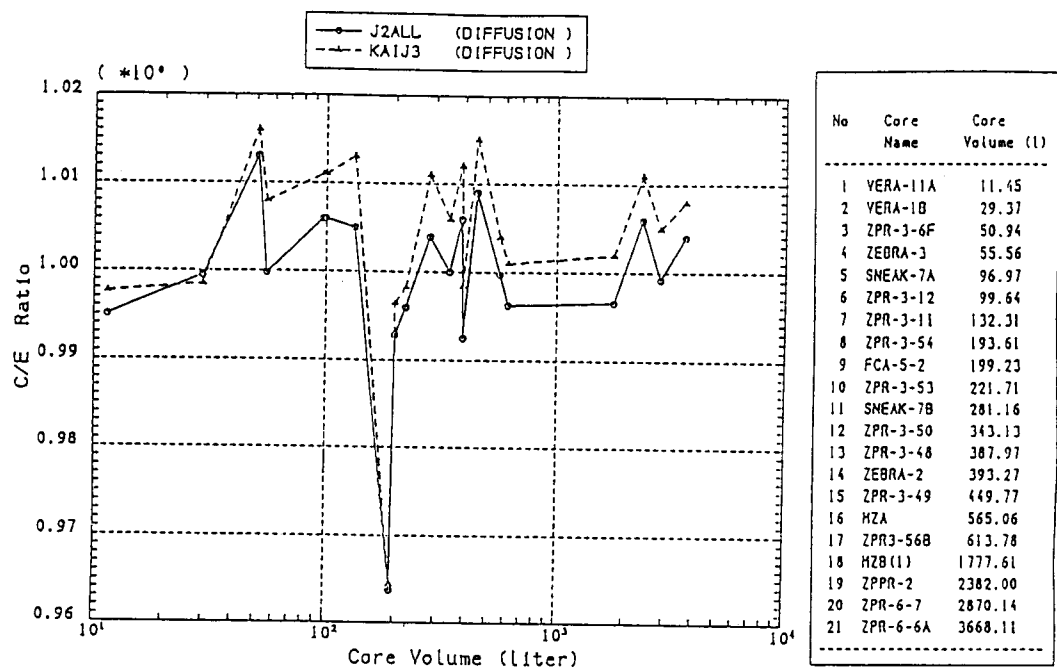


Fig.22 The effect of fission spectrum change on K_{eff}

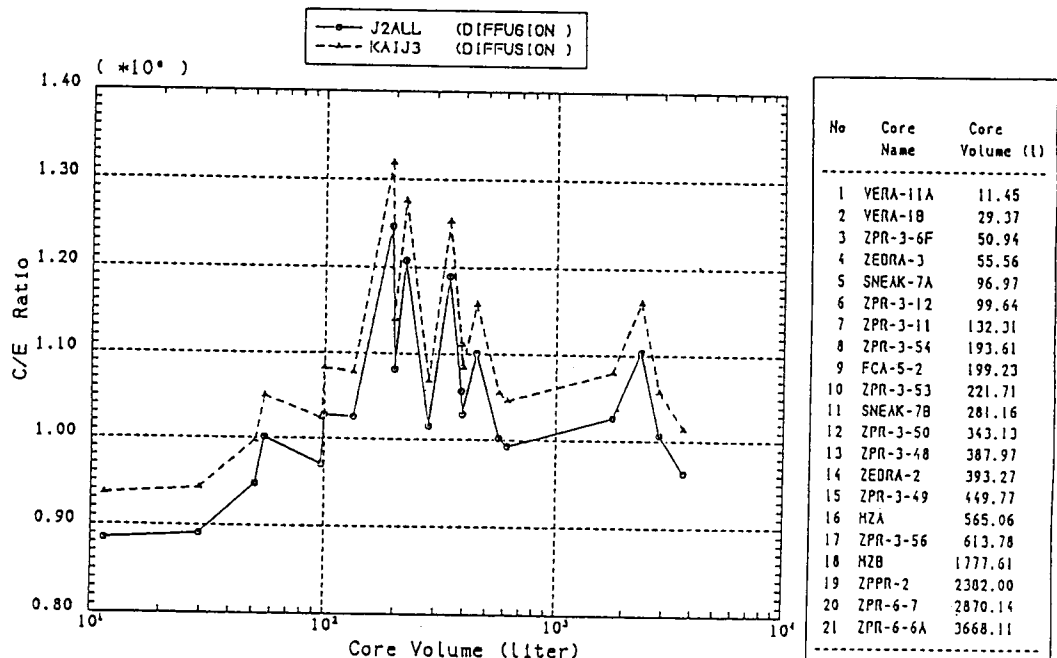


Fig.23 The effect of fission spectrum change on $\langle \sigma_f(U-238) / \sigma_f(U-235) \rangle$

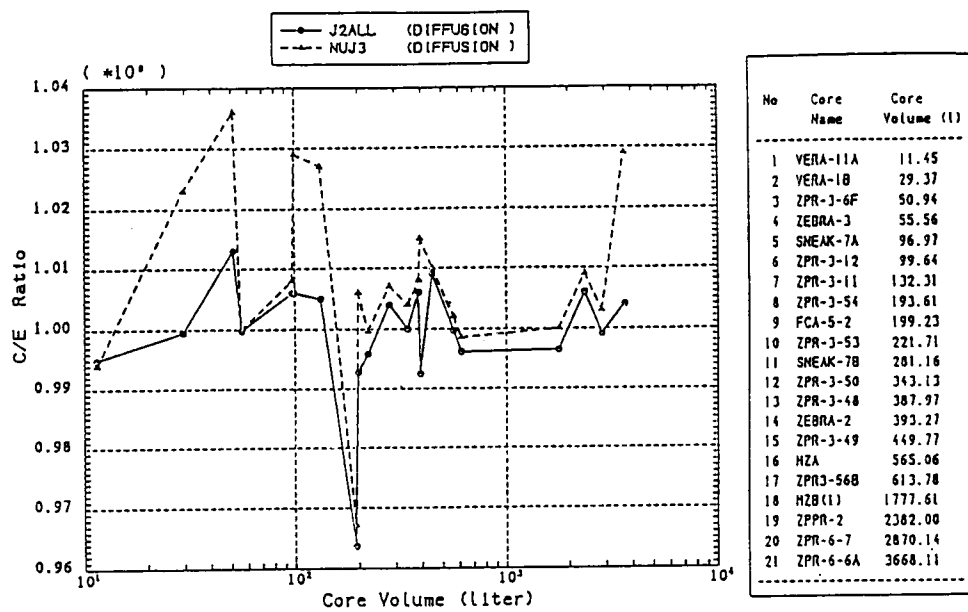


Fig.24 The effect of ν -value change on K_{eff}

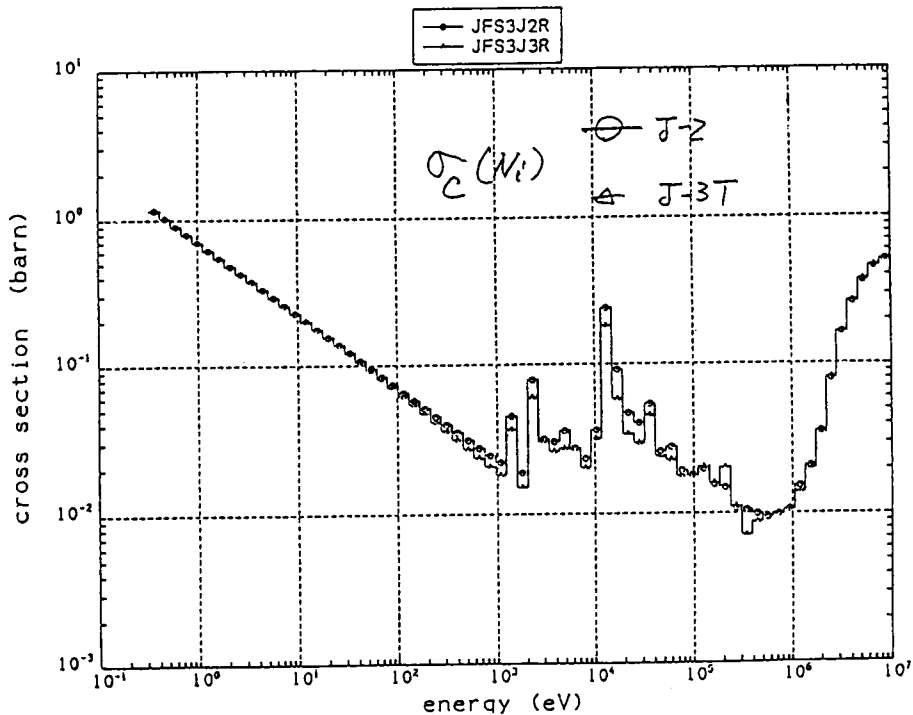


Fig.25 Comparison of capture cross sections of Ni

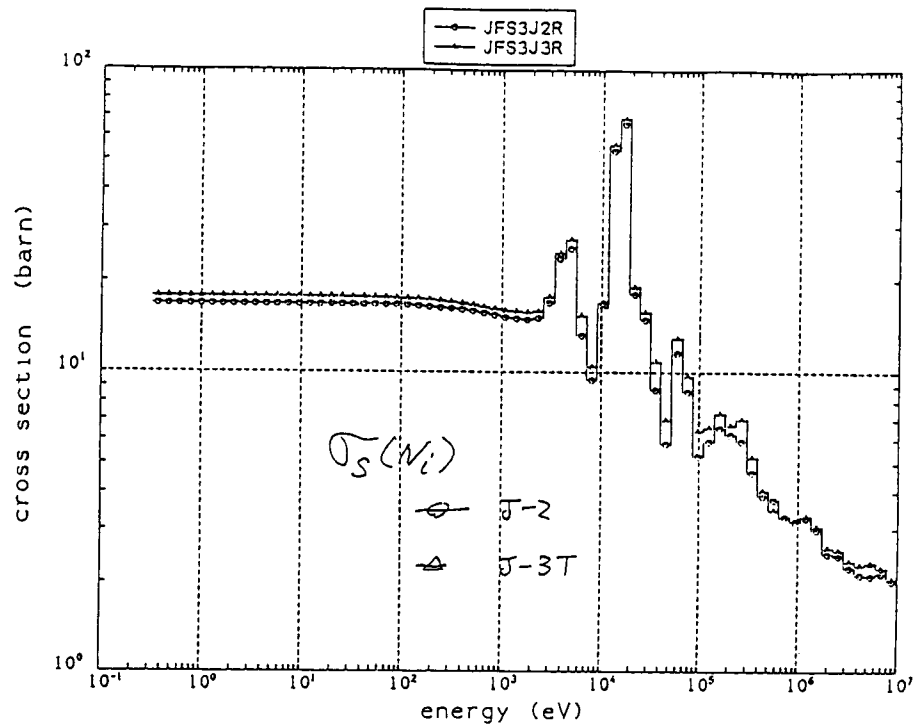


Fig.26 Comparison of elastic scattering cross sections of Ni

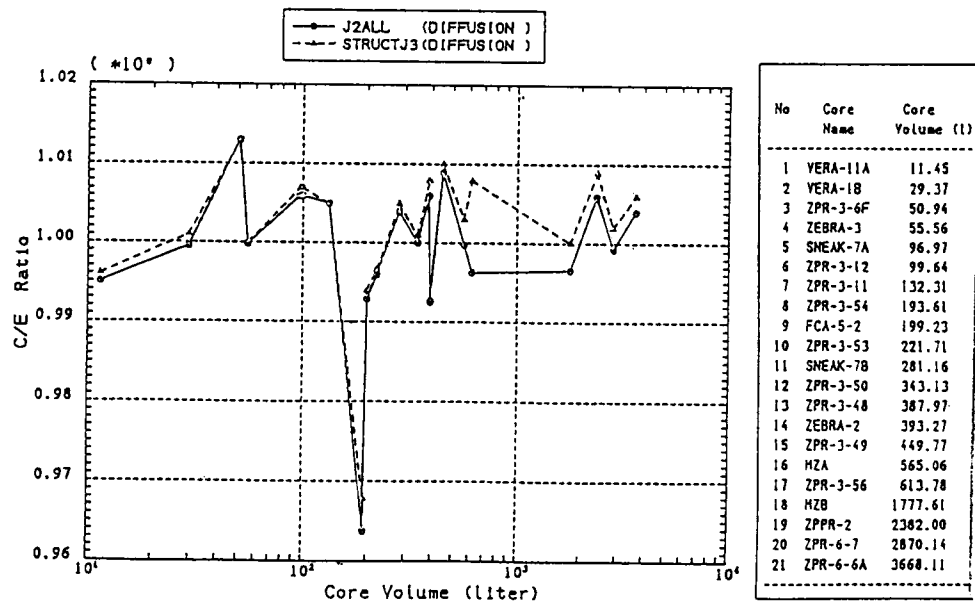


Fig.27 The effect of Ni-cross sections change on Keff